

Wiederholung:

Zeitunabhängige SDG:

$$\left[ -\frac{\hbar^2}{2m} \left( \frac{\partial^2}{\partial r^2} + \frac{2}{r} \frac{\partial}{\partial r} \right) + \frac{\hat{L}^2}{2mr^2} + V(r) \right] \psi(\vec{r}) = E \psi(\vec{r}) \quad (1)$$

Separationsatz:  $\psi(\vec{r}) = R(r) \cdot Y_{lm}(r, \vartheta, \varphi)$

<sup>T</sup> Kugelflächenfktn.  
Eigenfktn. von  $\hat{L}^2$  u.  $\hat{L}_z$

$$\hat{L}^2 Y_{lm} = \hbar^2 l(l+1) Y_{lm}$$

$$\hat{L}_z Y_{lm} = \hbar m_l Y_{lm}$$

$$m_l = 0, \pm 1, \dots, \pm l \quad (2l+1) \text{ Lösungen}$$

Einsetzen  
in (1)

$$\left[ -\frac{\hbar^2}{2m} \left( \frac{\partial^2}{\partial r^2} + \frac{2}{r} \frac{\partial}{\partial r} \right) + \frac{\hbar^2 l(l+1)}{2mr^2} + V(r) \right] R(r) = ER$$

Substitution:  $u(r) = r R(r)$

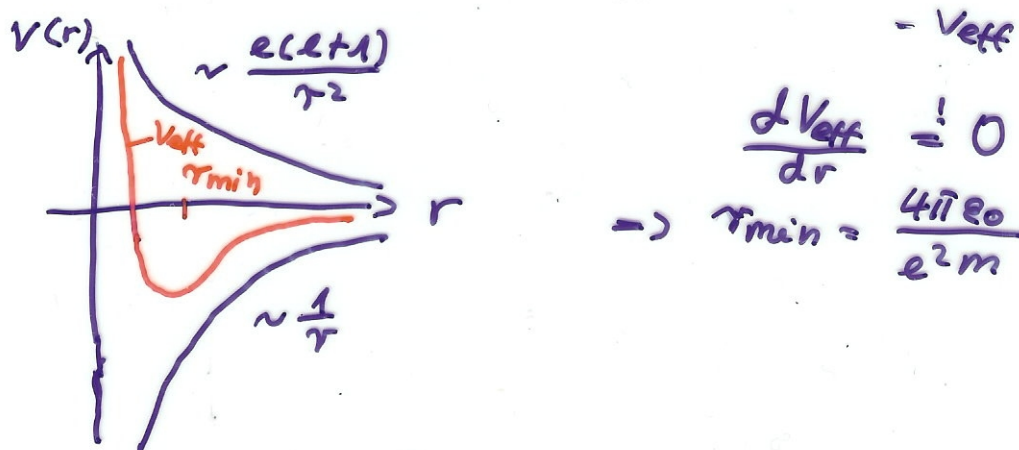
→ 1dim SDG:

$$\left[ -\frac{\hbar^2}{2m} \frac{d^2}{dr^2} + V(r) + \frac{\hbar^2 l(l+1)}{2mr^2} \right] u(r) = Eu(r) \quad (2)$$

## 7.2 Energieniveaus des Wasserstoffatoms

Coulombpotential:  $V(r) = -\frac{e^2}{4\pi\epsilon_0 r} \sim \frac{1}{r}$

$$\frac{d^2u}{dr^2} + \frac{2m}{\hbar^2} \left[ E + \underbrace{\frac{e^2}{4\pi\epsilon_0 r} - \frac{\hbar^2 l(l+1)}{2mr^2}}_{= V_{\text{eff}}} \right] u(r) = 0 \quad (3)$$



$$\begin{aligned} &= V_{\text{eff}} \\ \frac{dV_{\text{eff}}}{dr} &= 0 \\ \Rightarrow r_{\min} &= \frac{4\pi\epsilon_0}{e^2 m} \cdot \hbar^2 l(l+1) \end{aligned}$$

$$r \rightarrow \infty: \frac{d^2u}{dr^2} + \frac{2m}{\hbar^2} E \cdot u(r) = 0 \quad (E < 0)$$

$$\text{Lsg: } \underline{u_1(r) \sim e^{-K \cdot r}}, \quad u_2(r) \sim e^{+K \cdot r} \quad \text{↯}$$

$$K^2 = -\frac{2m}{\hbar^2} E$$

$$r \rightarrow 0: \frac{d^2u}{dr^2} - \frac{e(l(l+1))}{r^2} u(r) = 0$$

$$\text{Lsg: } \underline{u_1(r) \sim r^{l+1}}, \quad u_2(r) \sim r^{-l} \quad \text{↯}$$

$$\text{Ansatz: } u(r) \sim e^{-K \cdot r} \cdot r^{l+1} \cdot P(r)$$

$$\text{mit Polynom } P(r) = \sum_{\mu} a_{\mu} r^{\mu} \quad (\text{endlich})$$

$$\begin{aligned} E_n &= -\frac{m e^4}{2 \hbar^2 (4\pi \epsilon_0)^2} \cdot \frac{1}{n^2} = -\frac{13.6 \text{ eV}}{n^2} \\ &= \frac{e^2}{4\pi \epsilon_0 \cdot a_0} \cdot \frac{1}{2n^2} \quad \text{Bohrscher Radius:} \\ &\quad a_0 = \frac{\hbar^2 4\pi \epsilon_0}{e^2 m} \\ &\quad = 5.3 \cdot 10^{-11} \text{ m} \end{aligned}$$

$$\begin{aligned} R_{ne} &= \frac{u(r)}{r} = \\ &\left(\frac{1}{a_0}\right)^{3/2} \frac{2}{n^2(n+l)!} \sqrt{\frac{(n-l-1)!}{(n+l)!}} \cdot e^{-r/a_0} \cdot \left(\frac{2r}{n \cdot a_0}\right) \cdot \\ L_{n+l}^{2l+1} \left(\frac{2r}{na_0}\right) &\Leftarrow \text{zugeordnetes Laguerre Polynom} \end{aligned}$$

$$L_p^k(z) = \frac{d^k}{dz^k} L_p(z) \quad k \leq p$$

Gewöhnliches Laguerre Polynom:

$$L_p(z) = e^z \frac{d^p}{dz^p} (z^p e^{-z}) \quad p = 0, 1, \dots$$

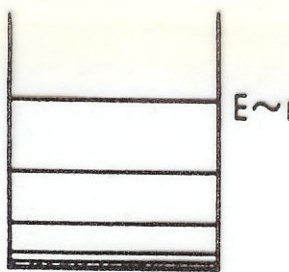
Zusammenfassung:  $\psi_{n l m_l}(r, \vartheta, \varphi) = R_{nl}(r) \cdot Y_{lm_l}(\vartheta, \varphi)$

$$n = 1, 2, \dots$$

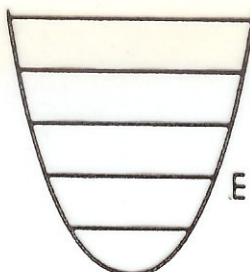
$$l = 0, 1, \dots, n-1$$

$$m_l = -l, -l+1, \dots, 0, \dots, +l$$

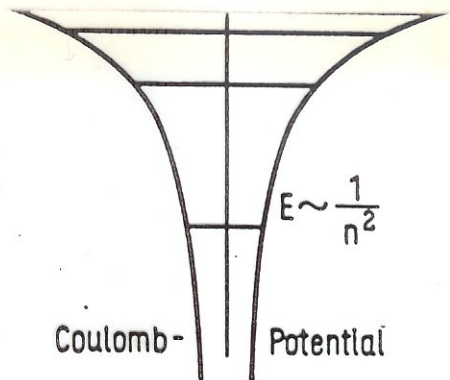
für jeder Hauptquantenzahl  $n$  gibt es  $\sum_{l=0}^{n-1} (2l+1) = n^2$  Wellenfunktionen  $\rightarrow$  System entartet hinsichtlich  $l$  u.  $m_l$



Rechteck-



Oszillatoren-



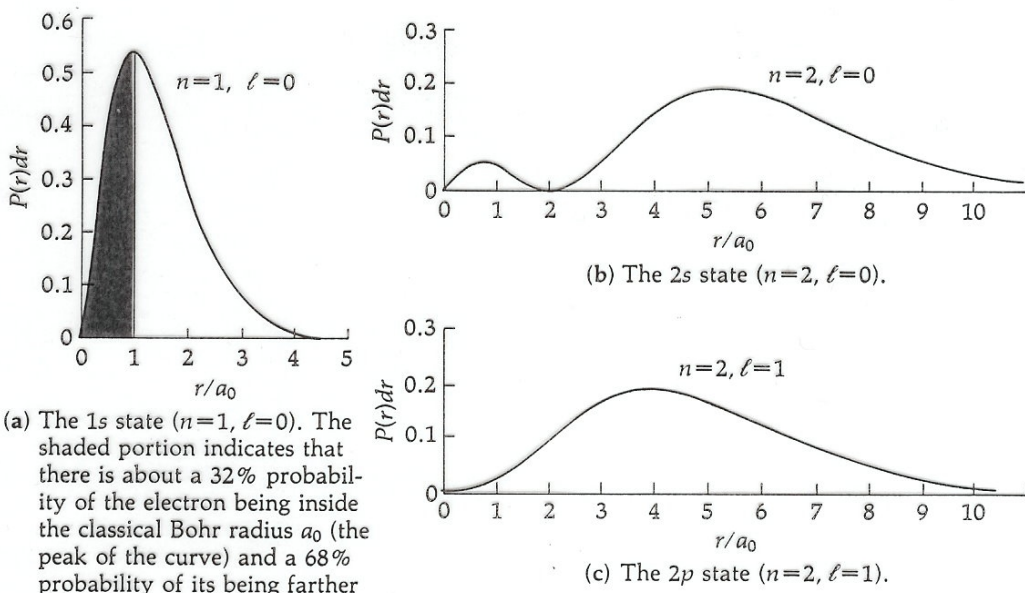
Coulomb-

$$E \sim \frac{1}{n^2}$$

Fig. 29 Vergleich der Energiestufen in verschiedenen Potentialen

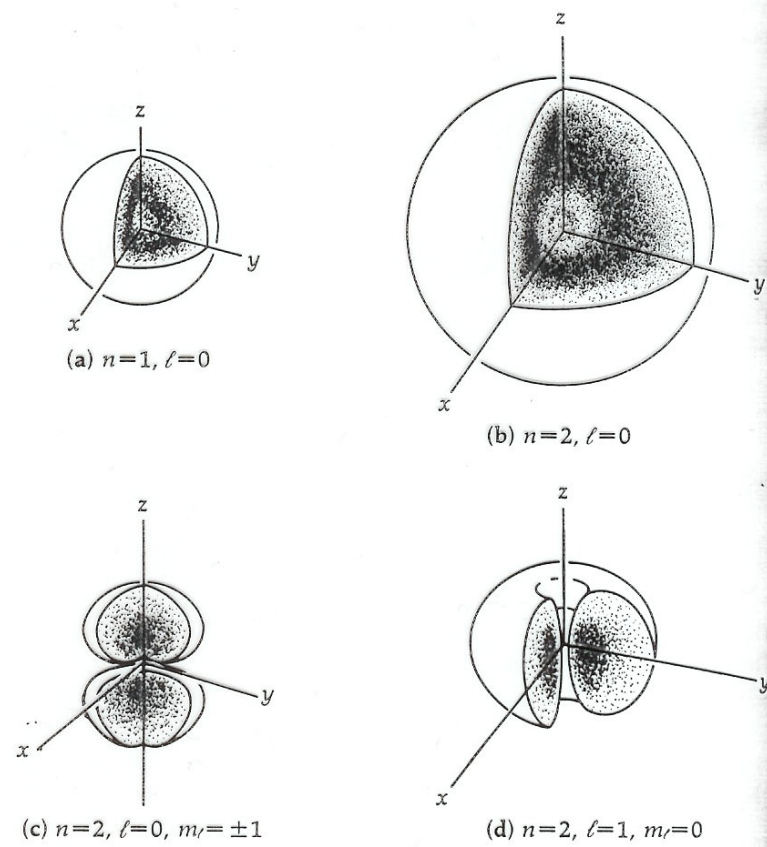
Tab. 4 Einige vollständige Eigenfunktionen des Wasserstoffatoms.

Quantenzahlen			Eigenfunktionen $\psi_{n\ell m}(r, \vartheta, \varphi)$
n	$\ell$	m	
1	0	0	$\psi_{100} = \frac{1}{\sqrt{\pi}} \left(\frac{Z}{a_0}\right)^{3/2} e^{-Zr/a_0}$
2	0	0	$\psi_{200} = \frac{1}{4\sqrt{2\pi}} \left(\frac{Z}{a_0}\right)^{3/2} \left(2 - \frac{Zr}{a_0}\right) e^{-Zr/2a_0}$
2	1	0	$\psi_{210} = \frac{1}{4\sqrt{2\pi}} \left(\frac{Z}{a_0}\right)^{3/2} \frac{Zr}{a_0} e^{-Zr/2a_0} \cos \vartheta$
2	1	$\pm 1$	$\psi_{21\pm 1} = \frac{1}{8\sqrt{\pi}} \left(\frac{Z}{a_0}\right)^{3/2} \frac{Zr}{a_0} e^{-Zr/2a_0} \sin \vartheta e^{\pm i\varphi}$
3	0	0	$\psi_{300} = \frac{1}{81\sqrt{3\pi}} \left(\frac{Z}{a_0}\right)^{3/2} \left(27 - 18 \frac{Zr}{a_0} + 2 \frac{Z^2 r^2}{a_0^2}\right) e^{-Zr/3a_0}$
3	1	0	$\psi_{310} = \frac{\sqrt{2}}{81\sqrt{\pi}} \left(\frac{Z}{a_0}\right)^{3/2} \left(6 - \frac{Zr}{a_0}\right) \frac{Zr}{a_0} e^{-Zr/3a_0} \cos \vartheta$
3	1	$\pm 1$	$\psi_{31\pm 1} = \frac{1}{81\sqrt{\pi}} \left(\frac{Z}{a_0}\right)^{3/2} \left(6 - \frac{Zr}{a_0}\right) \frac{Zr}{a_0} e^{-Zr/3a_0} \sin \vartheta e^{\pm i\varphi}$
3	2	0	$\psi_{320} = \frac{1}{81\sqrt{6\pi}} \left(\frac{Z}{a_0}\right)^{3/2} \frac{Z^2 r^2}{a_0^2} e^{-Zr/3a_0} (3 \cos^2 \vartheta - 1)$
3	2	$\pm 1$	$\psi_{32\pm 1} = \frac{1}{81\sqrt{\pi}} \left(\frac{Z}{a_0}\right)^{3/2} \frac{Z^2 r^2}{a_0^2} e^{-Zr/3a_0} \sin \vartheta \cos \vartheta e^{\pm i\varphi}$
3	2	$\pm 2$	$\psi_{32\pm 2} = \frac{1}{162\sqrt{\pi}} \left(\frac{Z}{a_0}\right)^{3/2} \frac{Z^2 r^2}{a_0^2} e^{-Zr/3a_0} \sin^2 \vartheta e^{\pm 2i\varphi}$



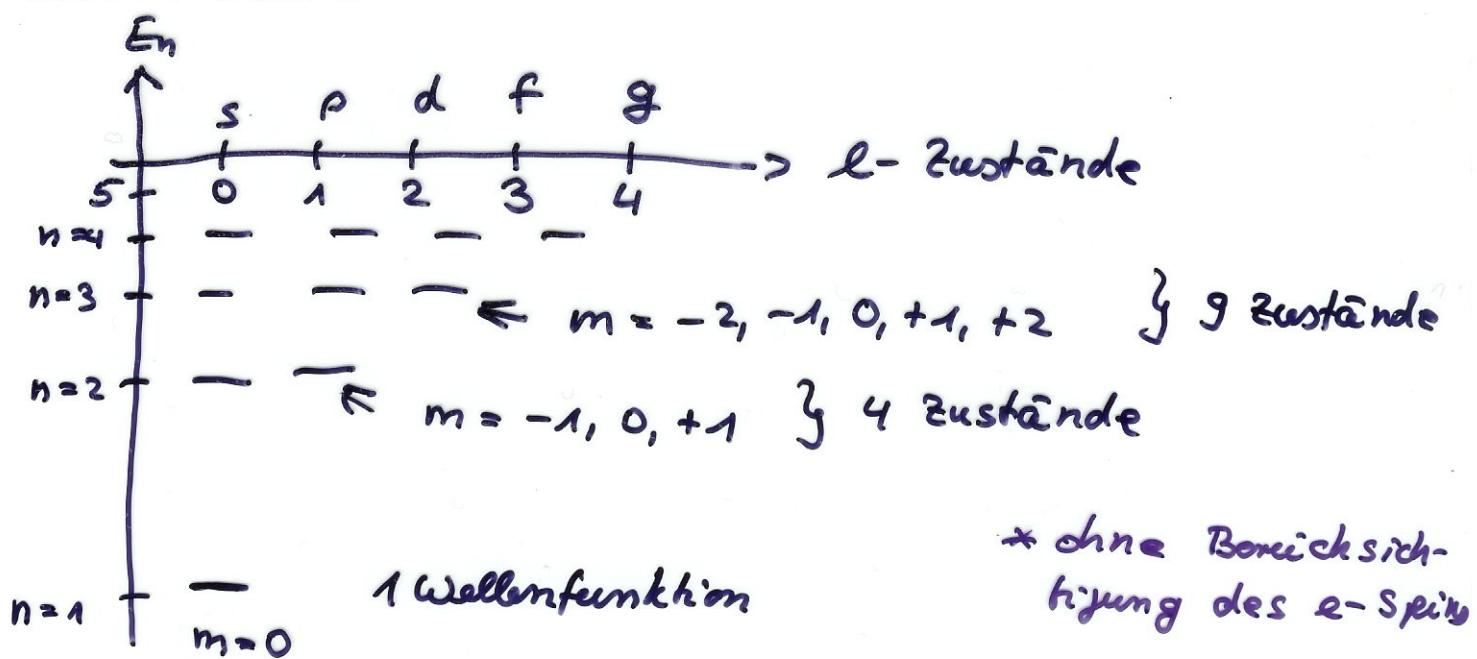
**FIGURE 44-8**  
The radial probability density function  $P(r)$  for the three lowest states of hydrogen.

$P(r)$ , for the  $1s$  state of hydrogen. As shown in Example 44-4, the maximum of the curve in Figure 44-8a occurs at  $r = a_0 = 0.0529$  nm (the Bohr  $n=1$  radius). The shaded portion is 32.3% of the total area under the curve, indicating that during this fraction of its time, the electron is closer to the nucleus than the Bohr radius.



**FIGURE 44-9**  
One way of representing the probability density for the  $1s$ ,  $2s$ , and  $2p$  states of the hydrogen atom. (We have drawn rather artificial boundaries to the distributions; the probability of finding an electron outside the boundary of a cloud is less than about 10%. ) In each case, the nucleus is at the coordinate origin. The greater the cloud density, the greater the probability of finding the electron in that region.

## Termeschema:



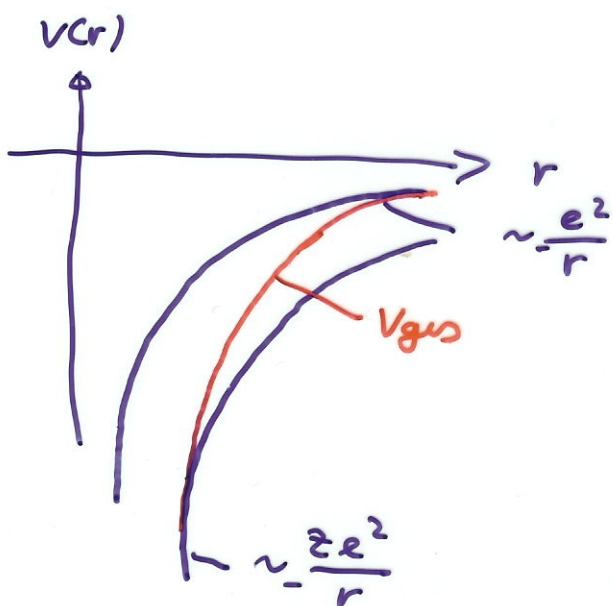
Wasserstoff: zufällige  $l$ -Entartung

Alkali-Atome:  $l$ -Entartung aufgehoben



$r$  groß: Kernladung  $+ze$  wird bis auf eine Ladeneinheit durch die innere  $e$  kompensiert

$r$  klein: keine Abschirmung



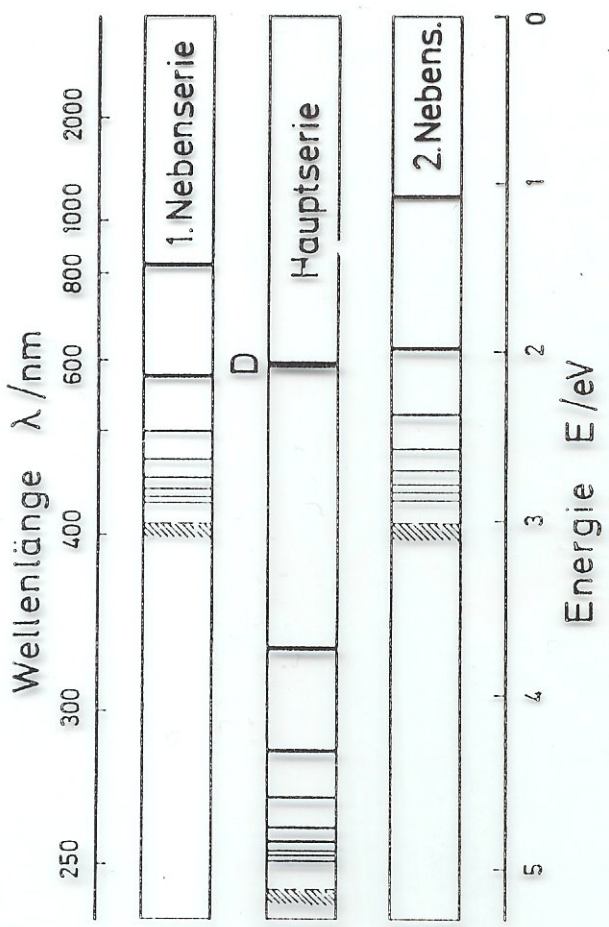


Abb. 11.6. Die drei kürzestwelligen Spektralserien des Natriumatoms. Die Seriengrenzen sind gestrichelt eingezzeichnet. Das Emissionsspektrum ist eine Überlagerung dieser Serien. In Absorption beobachtet man normalerweise nur die Hauptserie, da im Grundzustand des Na-Atoms der höchste besetzte Term der  $3s$ -Term ist. – Die gelbe Farbe von Natriumlampen wird durch die längstwellige Resonanzlinie der Hauptserie, Übergang  $3s \leftrightarrow 3p$ , hervorgerufen. Das ist die aus historischen Gründen sogenannte Natrium-D-Linie.

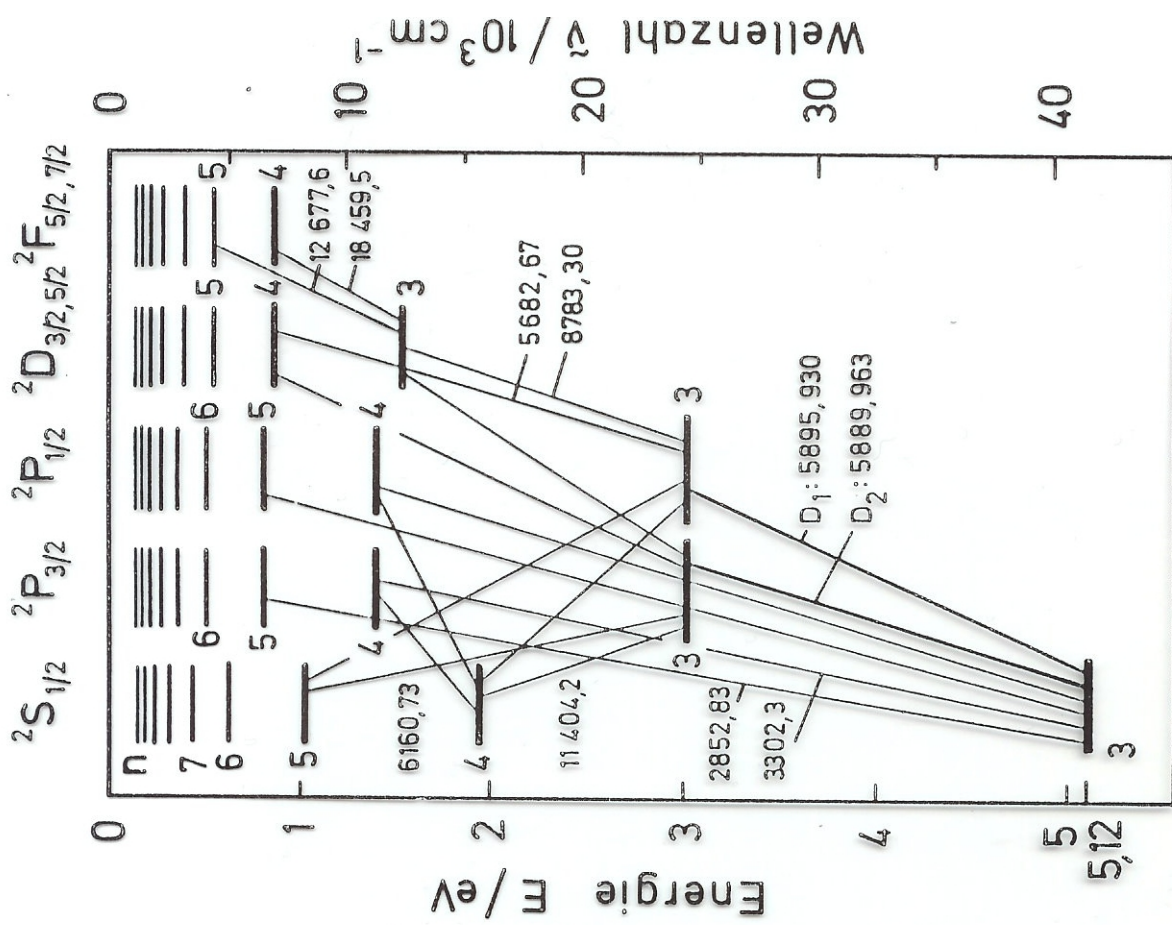


Abb. 11.7. Termschema des Natrium-Atoms, sogenanntes Grotrian-Diagramm. Einige der kürzestwelligen Übergänge aus der Hauptserie, den beiden Nebenserien und der Bergmannserie sind eingezzeichnet. Die Zahlen im Diagramm bedeuten Wellenlängen der betreffenden Übergänge in Å. Die am oberen Bildrand eingebrachten Termsymbole enthalten bereits die Quantenzahlen für die Multiplicität und den Gesamtimpuls. Diese werden in Kapitel 12 und 17 erklärt.

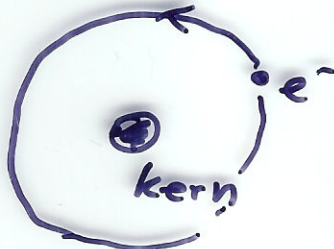
## 7.3 Bahm- und Spin-Magnetismus

### 7.3.1. klassische Einführung

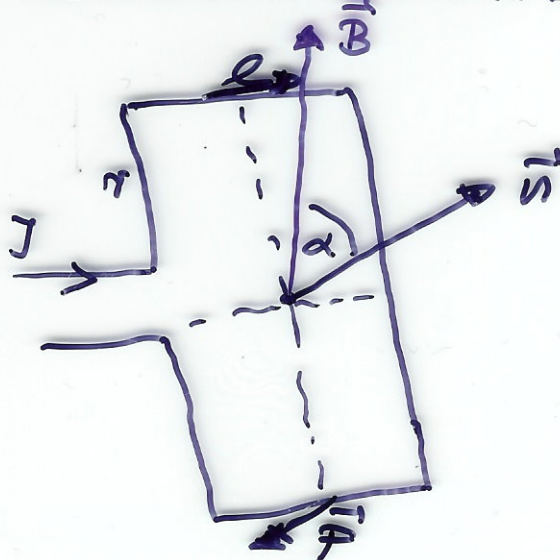
Elektron auf Kreisbahn

→ Kreisstrom

$\xrightarrow{ED}$  magn. Dipolfeld  
= magn. Moment



#### a) Magnetisches Moment



$$\vec{\mu} = J \cdot A \vec{n} \quad [A \cdot m^2]$$

$\vec{n}$ : Flächennormale

Homogenes Magnetfeld  $\vec{H}$   
der Flussdichte  $\vec{B} = \mu_0 \vec{H}$   
→ Leiterschleife erfährt  
Drehmoment  $\vec{D}$

$$\vec{D} = 2 \cdot (\vec{r} \times \vec{F}) = 2 \cdot (\vec{r} \times q \cdot \vec{v} \times \vec{B})$$

$$\alpha = 90^\circ; \vec{n} \perp \vec{B}: D = 2 \cdot r \cdot q \cdot v \cdot B = \underbrace{2 \cdot r l}_{A} \cdot \underbrace{\frac{q v}{J}}_{\mu} \cdot B \\ = \mu \cdot B$$

$$\text{Allgemein: } \vec{D} = \vec{\mu} \times \vec{B}$$

$$V_{\text{mag}} = -\vec{\mu} \cdot \vec{B} = \int_{\pi/2}^{\alpha} D d\alpha = \int_{\pi/2}^{\alpha} \mu \cdot B \sin \alpha d\alpha = -\mu B \cdot \cos \alpha$$

$$\underline{\text{H-Atom} = 1 \text{ Elektron}}: \quad j = \frac{q}{T} = \frac{-e\omega}{2\pi}$$

$$\rightarrow \mu = j \cdot A = - \frac{e\omega}{2\pi} \cdot \pi r^2$$

$$= - \frac{e}{2m} |\vec{l}|$$

$$T = \frac{2\pi}{\omega}$$

$$A = \pi r^2$$

$$|\vec{l}| = m|\vec{v}| \cdot 1 F =$$

$$mv r^2$$

$$v = \omega \cdot r$$

QM: Bohrsches Magneton

$$\mu_B = \frac{e}{2m} \hbar = 9.27 \cdot 10^{-24} \text{ Am}^2$$

$$= 0.58 \cdot 10^{-4} \frac{eV}{T}$$

$$\rightarrow \mu = \frac{e}{2m} \hbar \sqrt{l(l+1)} = \mu_B \cdot \sqrt{l(l+1)}$$

(da  $l(l+1)$  EW zum Operator  $\hat{L}^2$ )

### b) Präzession im Magnetfeld.

Drehmoment  $\rightarrow$  Präzession um  $\vec{B}$ -Richtung

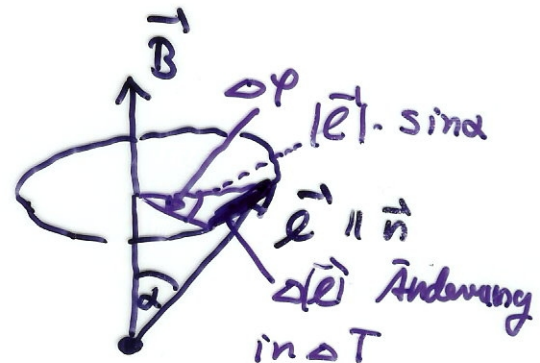
(analog zum Kreisel)

$$\vec{D} = \vec{\mu} \times \vec{B} = \frac{d\vec{l}}{dt}$$

$$\Delta \vec{e} \parallel \vec{D}$$

$$|\Delta \vec{e}| = |\vec{l}| \sin \alpha \cdot \omega_L \cdot \Delta T$$

$$\Rightarrow \frac{d\vec{l}}{dt} = |\vec{l}| \sin \alpha \cdot \omega_L \quad \left. \right\} \quad \omega_L = \frac{\mu \cdot B}{|\vec{l}|} \quad \text{Larmor-} \\ \left. \right\} \quad = \mu \cdot B \cdot \sin \alpha \quad \text{frequenz}$$

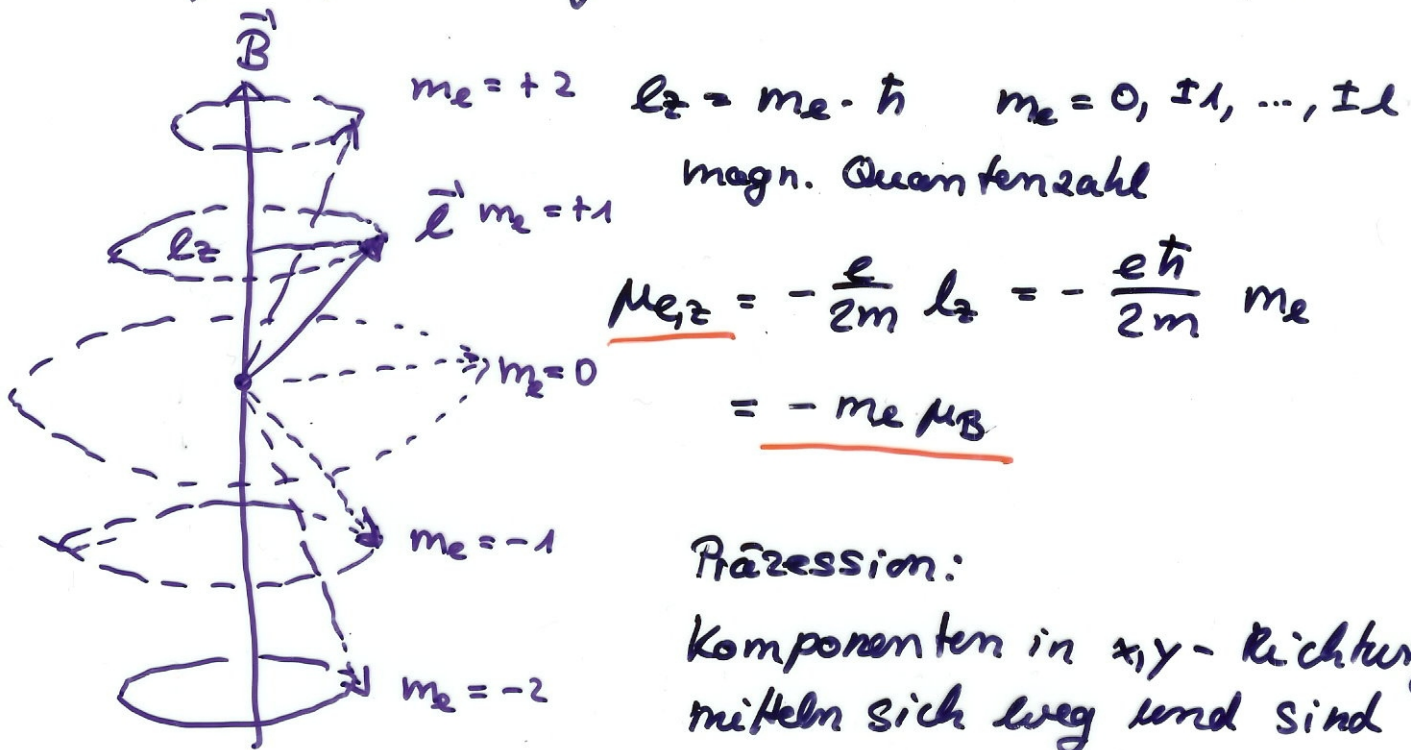


$$\omega = \frac{\partial \phi}{\partial T}$$

$$\text{QM: } \omega_L = \frac{\mu \cdot B}{\hbar} = \frac{\mu_B \cdot \sqrt{e(e+1)} \cdot B}{\hbar}$$

$$\underline{\omega_L} = \frac{\mu_B \cdot B}{\hbar}$$

Drehimpulsquantisierung: diskrete Werte von  $\ell, \ell_z$



$$\underline{m_{ez}} = -\frac{e}{2m} \ell_z = -\frac{e\hbar}{2m} m_e$$

$$= -m_e \mu_B$$

Präzession:

Komponenten in  $x, y$ -Richtung  
mischen sich weg und sind  
daher nicht messbar.

Änderung der Drehimpulsrichtung um  $\Delta m_e = 1$

$$\begin{aligned} \Delta V_{\text{mag}} &= -\Delta \mu_z \cdot B = -\Delta m_e \cdot \mu_B \cdot B \\ &= -\mu_B \cdot B = \omega_L \cdot \hbar \end{aligned}$$